

## Эллиптические уравнения с разрывным коэффициентом. Компактная разностная схема для сложной границы сред.

Гордин В.А. Шадрин Д.А.

НИУ ВШЭ & Гидрометцентр РФ, Москва, [vagordin@mail.ru](mailto:vagordin@mail.ru), [shadrin.dmitry2010@yandex.ru](mailto:shadrin.dmitry2010@yandex.ru)

Стационарные решения различных процессов (диффузии, теплопроводности, волновых) описываются уравнениями Пуассона или Гельмгольца

$$-\operatorname{div}(\mathcal{G}\operatorname{grad}(u)) = f(\vec{x}), \quad \vec{x} \in G, \quad (1)$$

$$-\operatorname{div}(\mathcal{G}\operatorname{grad}(u)) + k^2 u = f(\vec{x}). \quad (2)$$

В некоторых случаях среда неоднородна, причем ее свойства меняются скачком. Разделим область  $G$  на две однородные подобласти линией стыка  $\Gamma$ . В технических приложениях важен случай, при котором  $\Gamma$  – не является гладкой (есть углы), см Рис 1. Модельный пример: подобласти - концентрические равнобедренные треугольники. В уравнениях (1), (2) коэффициент  $\mathcal{G}$  - кусочно-постоянная функция, зависящая от среды (во внутреннем треугольнике принимает значение  $\mathcal{G}_+$ , во внешнем -  $\mathcal{G}_-$ ).

На внешней границе граничные условия Дирихле, на линии  $\Gamma$  - стыковочные:

$$[u] = 0, \quad (3a) \quad [\mathcal{G}\partial_n u] = 0 \quad (3b).$$

Здесь  $[ ]$  - амплитуда скачка на линии  $\Gamma$ ,  $\partial_n u$  - производная по нормали к линии  $\Gamma$ .

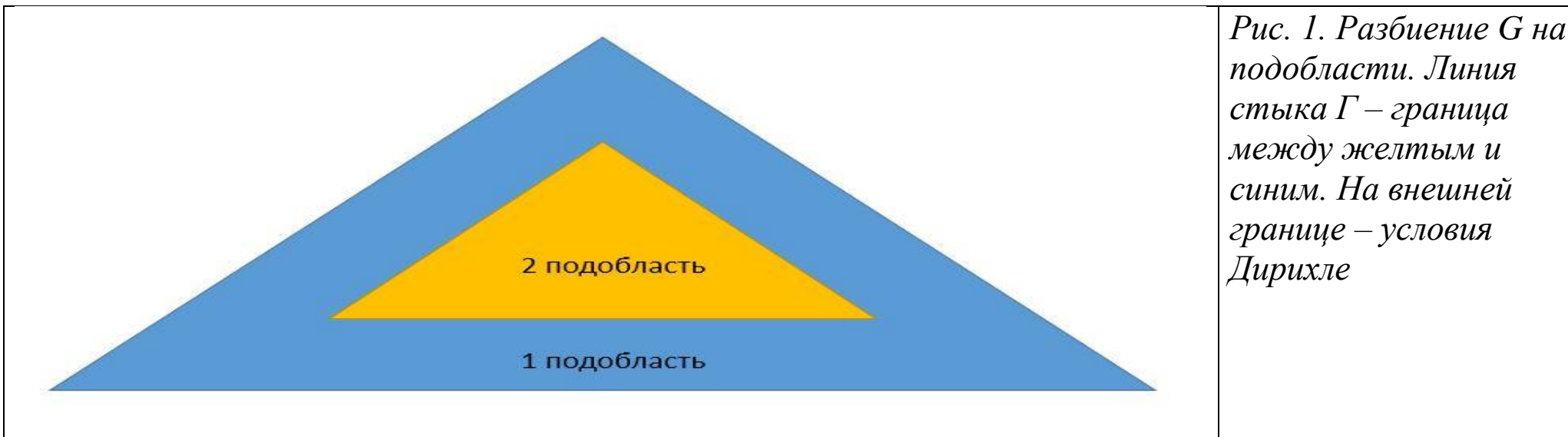


Рис. 1. Разбиение  $G$  на подобласти. Линия стыка  $\Gamma$  – граница между желтым и синим. На внешней границе – условия Дирихле

**Аппроксимация.** Использовалась компактная разностная схема 4-го порядка на треугольной сетке. Линии сетки параллельны сторонам треугольников. Для каждой точки сетки составляется уравнение вида:

$$\sum_i k_i u_i = \sum_j m_j f_j \quad (4)$$

$u_i$  - значения неизвестной функции в  $i$ -й точке шаблона вокруг точки,  $f_j$  - правой части.

**Коэффициенты**  $\langle k_i, m_j \rangle$  для каждой точки сетки **определяем из условия точности (4) на выбранных парах тестовых функций:**  $\langle u_{test,1}, f_{test,1} \rangle, \dots, \langle u_{test,n}, f_{test,n} \rangle$ , где:  $f_{test,d} = L[u_{test,d}]$ . Получаем  $n$  однородных линейных уравнений на  $p$  неизвестных ( $p$  – сумма чисел коэффициентов для решения и для правой части). Выбираем набор из  $n=p-1$  тестовой функции, чтобы после добавления условия

нормировки ( $k_1 = 1$ ) получилась система из  $p$  уравнений. После составления проверяем хорошую обусловленность СЛАУ.

Принцип подбора тестовых функций следующий: в окрестности точек  $(x_0, y_0)$  далеких от линии стыка предполагается, что решение дифференциального уравнения и разлагается в ряд Тейлора по двум переменным до четвертой степени:  $u = \sum_{i+j \leq 4} a_{ij}(x - x_0)^i(y - y_0)^j + o(r^4)$ ;  $r$  – расстояние от  $(x_0, y_0)$  до  $(x, y)$ . Погрешность  $o(N^{-4})$ , где  $N$  – число отрезков на основании большого треугольника.

Пример шаблона и тестовых функций в точках, далеких от стыка сред.

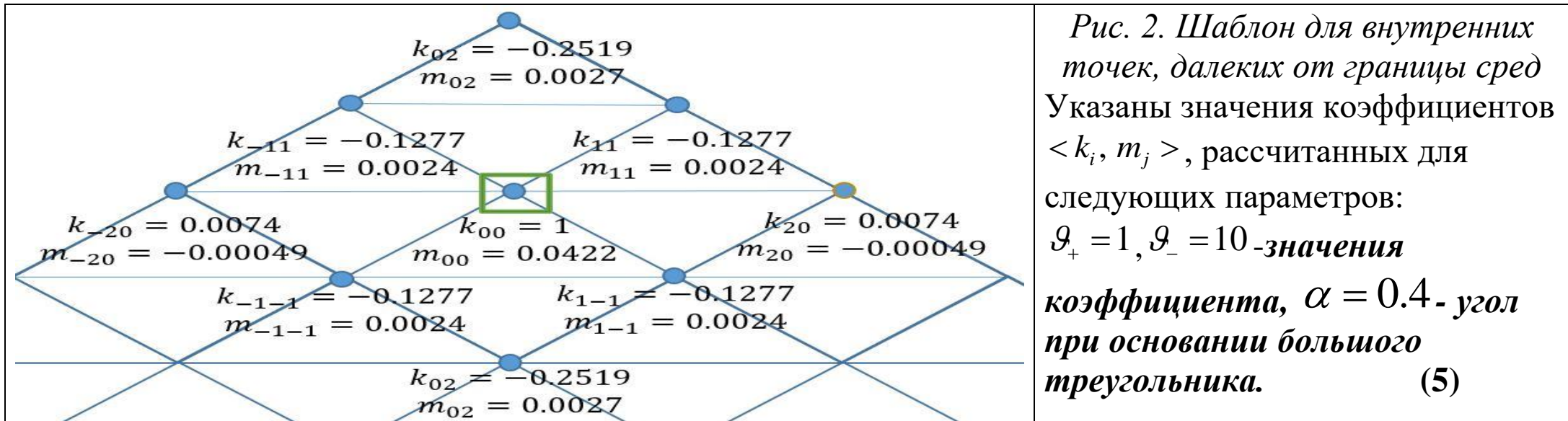
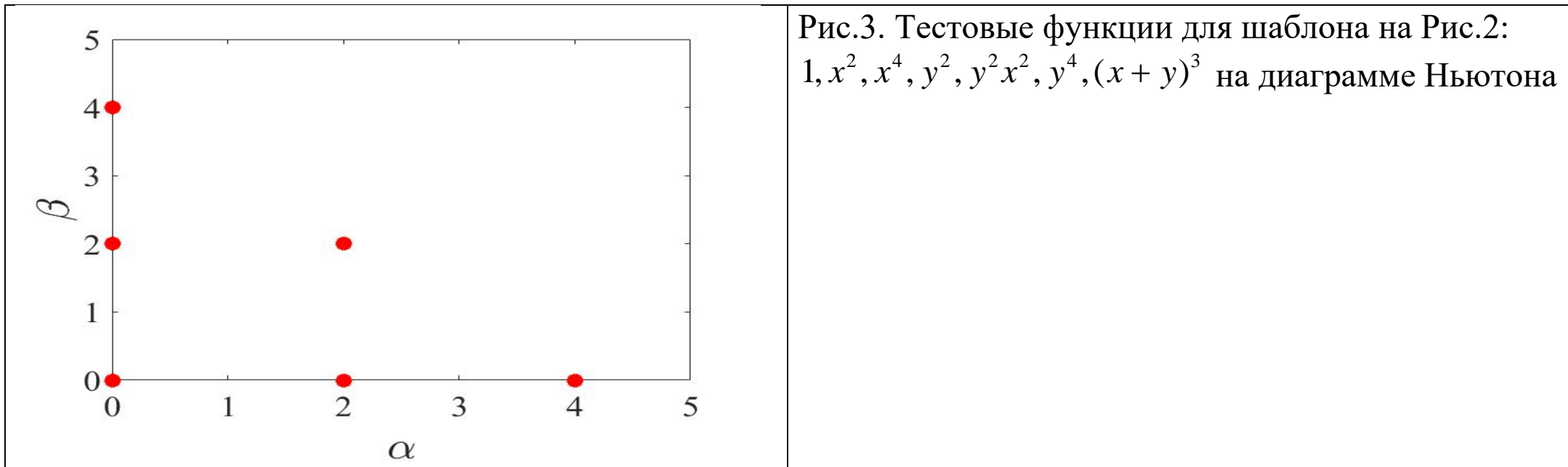


Рис. 2. Шаблон для внутренних точек, далеких от границы сред  
Указаны значения коэффициентов  $\langle k_i, m_j \rangle$ , рассчитанных для следующих параметров:  
 $\mathcal{G}_+ = 1, \mathcal{G}_- = 10$  - значения  
коэффициента,  $\alpha = 0.4$  - угол  
при основании большого  
треугольника. (5)

Шаблон на рис (2) симметричен относительно вертикали и горизонтали,  $k_{ij} = k_{-ij}$ ,  $m_{ij} = m_{-ij}$ ,  $k_{ij} = k_{i-j}$  и  $m_{ij} = m_{i-j}$ . Независимых коэффициентов, у которых оба индекса неотрицательны, 8 штук.

Выбор тестовых функций, на которых компактная схема должна иметь 4 порядок точности, определяется из диаграммы Ньютона.



Для точек на линии стыка  $\Gamma$  аппроксимируем не уравнение, а стыковочные условия (3). Искомая функция  $u$  терпит излом. Разложение Тейлора существует с каждой стороны от линии излома:

$u = \begin{cases} \sum_{i+j \leq 4} a_{ij} (n - n_0)^i (s - s_0)^j + o(r^4) & \text{внутри малого треугольника} \\ \sum_{i+j \leq 4} b_{ij} (n - n_0)^i (s - s_0)^j + o(r^4) & \text{снаружи от малого треугольника} \end{cases}$	$\vec{s}$ направлен по касательной к линии стыка $\Gamma$ , $\vec{n}$ - по нормали
--	--

Из (3а) уравнения при всех  $j: a_{0j} = b_{0j}$ . Из (3б) уравнения  $\mathcal{G}_+ a_{1j} = \mathcal{G}_- b_{1j}$ . 20 тестовых функций  $u$  (компоненту  $f$  получаем, применяя оператор  $L$ ), для обеспечения 4-го порядка:

1	s	s <sup>2</sup>	s <sup>3</sup>	s <sup>4</sup>	G <sub>±</sub> n	G <sub>±</sub> ns	G <sub>±</sub> ns <sup>2</sup>	G <sub>±</sub> ns <sup>3</sup>
---	---	----------------	----------------	----------------	------------------	-------------------	--------------------------------	--------------------------------

n <sup>2</sup>	n <sup>2</sup> s	n <sup>2</sup> s <sup>2</sup>	n <sup>3</sup>	n <sup>3</sup> s	n <sup>4</sup>
sign(n)n <sup>2</sup>	sign(n)n <sup>2</sup> s	sign(n)n <sup>2</sup> s <sup>2</sup>	sign(n)n <sup>3</sup>	sign(n)n <sup>3</sup> s	sign(n)n <sup>4</sup>

В точках шаблона, попавших непосредственно на линию  $\Gamma$ , правая часть  $f$  не определена, поэтому полагаем там коэффициенты  $m_j$  в компактной схеме (4) нулевыми.

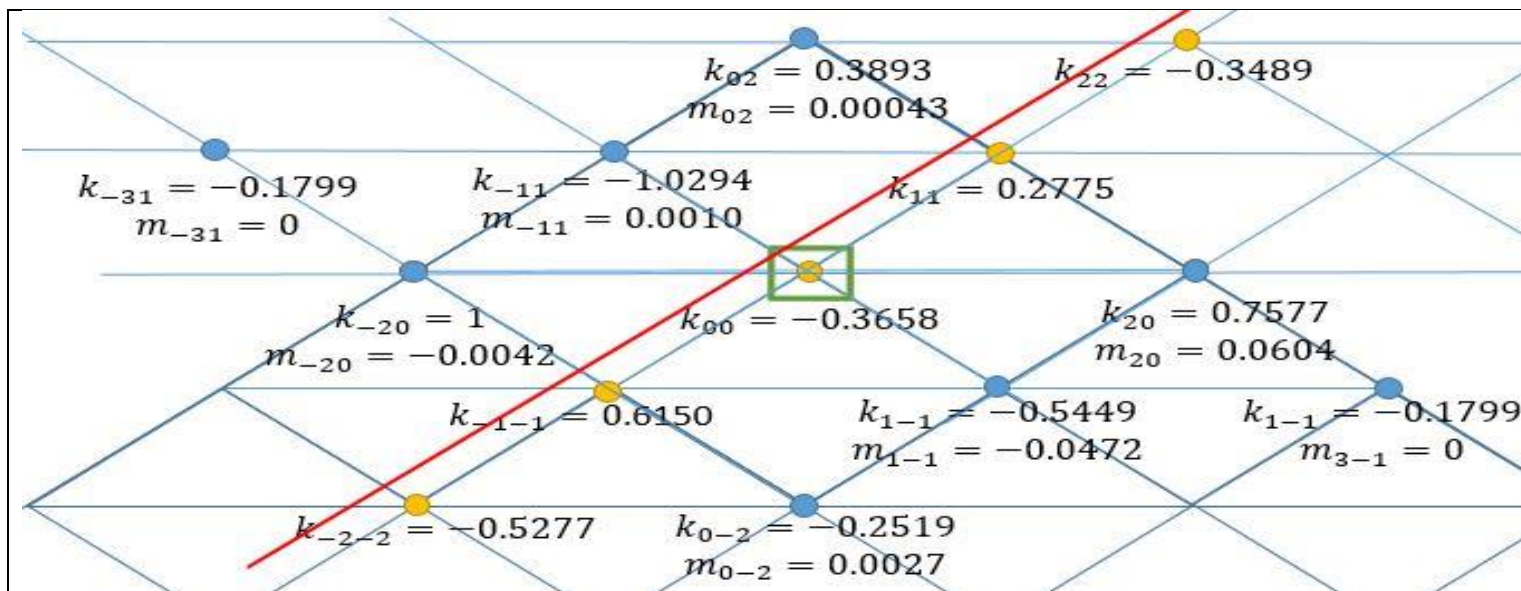


Рис 4. Шаблон и веса для точек сетки, лежащих на левом боковом участке границы сред Г.

В точках сетки на стыке (желтые) коэффициенты  $m_j = 0$ . Остальные веса находим, решая СЛАУ.

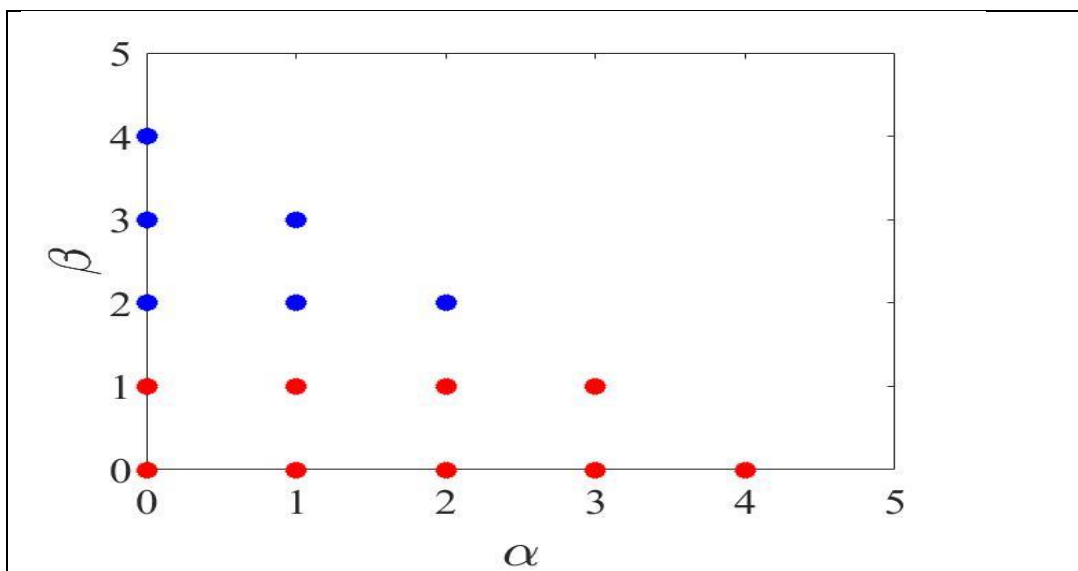


Рис. 5 Диаграмма Ньютона для тестовых функций для шаблона с рис 4 вида:  $n^\beta s^\alpha$ . Синие точки обозначают мономы, которые входят и с множителем  $\text{sign}(n)$ , и без него.

Для аппроксимации граничных условий в углах  $\Gamma$  решение раскладывается в ряд по обобщенным собственным функциям. Обобщенной собственной функцией дифференциального оператора  $L$  назовем функцию  $f$ , такую, что:

$$L[Y] = \begin{cases} \mu \mathcal{G}_+ Y & \text{внутри малого треугольника} \\ \mu \mathcal{G}_- Y & \text{вне малого треугольника} \end{cases} . \quad (6)$$

Они находятся методом Фурье:  $Y(r, \varphi) = A(\varphi)B(r)$ , где  $\varphi$  и  $r$  – угол и радиус в полярной системе координат относительно угла (излома линии  $\Gamma$ ), в котором происходит аппроксимация. Подставляя  $Y$  в (6), получаем систему обыкновенных диффузов для функций  $A$  и  $B$ :

$$\frac{\partial}{\partial \varphi} \left( \mathcal{G}(\varphi) \frac{\partial A}{\partial \varphi} \right) = -\mathcal{G}(\varphi) \lambda A , \quad (7)$$

$$\frac{1}{r} \frac{\partial}{\partial r} \left( r \frac{\partial B}{\partial r} \right) - B \frac{\lambda}{r^2} + \mu B = 0 . \quad (8)$$

Решая эту систему, получаем, что

$$A(\varphi) = \begin{cases} C_{1+} \sin(\sqrt{\lambda} \varphi) + C_{2+} \cos(\sqrt{\lambda} \varphi) & \Leftarrow \varphi \in [0, \alpha] \\ C_{1-} \sin(\sqrt{\lambda} \varphi) + C_{2-} \cos(\sqrt{\lambda} \varphi), & \Leftarrow \varphi \in [\alpha - 2\pi, 0] \end{cases} \quad (9)$$

$B(r) = C_1 J_s(\sqrt{\mu} r)$ , где  $\mathbf{J}$  – функция Бесселя первого рода.

Индекс функции Бесселя  $s = \sqrt{\lambda}$  определяется из стыковочных условий (3):

$$\det \begin{pmatrix} \sqrt{g_+} \sin \sqrt{\frac{\lambda}{g_+}} \alpha + \sin \sqrt{\frac{\lambda}{g_-}} (2\pi - \alpha) & \cos \sqrt{\frac{\lambda}{g_+}} \alpha - \cos \sqrt{\frac{\lambda}{g_-}} (2\pi - \alpha) \\ \sqrt{g_-} \cos \sqrt{\frac{\lambda}{g_+}} \alpha - \sqrt{g_-} \cos \sqrt{\frac{\lambda}{g_-}} (2\pi - \alpha) & -\sqrt{g_+} \sin \sqrt{\frac{\lambda}{g_+}} \alpha - \sqrt{g_-} \sin \sqrt{\frac{\lambda}{g_-}} (2\pi - \alpha) \end{pmatrix} = 0 \quad (10)$$

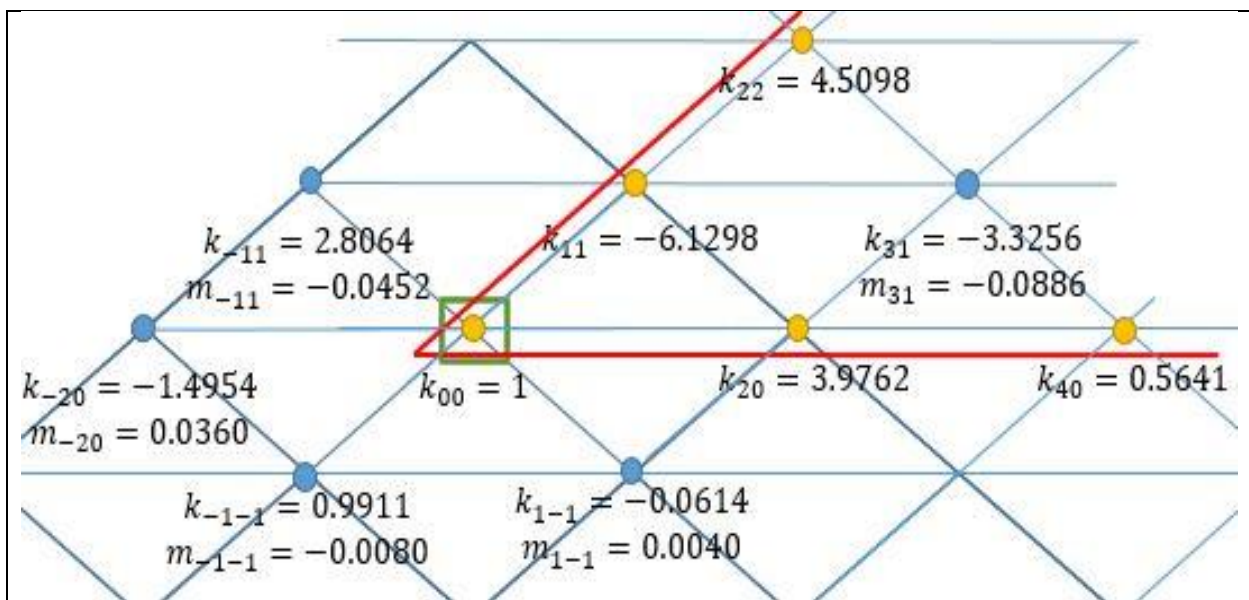


Рис. 6. Шаблон для левого угла при основании границы сред. На рисунке радиус отсчитывается от точки, обведенной в зеленый квадрат, угол отсчитывается от нижнего участка стыка

Тестовые функции для этого шаблона записаны в полярной системе координат  $(r, \varphi)$ :

$$1, r^2, r^4, A_{S_1} r^{S_1}, A_{S_1} r^{S_1+2}, A_{S_2} r^{S_2}, A_{S_2} r^{S_2+2}, A_{S_3} r^{S_3}, A_{S_3} r^{S_3+2}, A_{S_4} r^{S_4}, A_{S_4} r^{S_4+2}, A_{S_5} r^{S_5}, A_{S_6} r^{S_6}, A_{S_7} r^{S_7}, A_{S_8} r^{S_8}.$$

Функции  $A_s(\varphi)$  определены по формуле (9).



Функции Бесселя, индекс которых определяется из дисперсионных соотношений были заменены на степени  $r$ , так как функции Бесселя раскладываются вблизи 0 в степенной ряд:  $J_s(r) = \sum_{i=0}^{\infty} c_i r^{s+2i}$ .

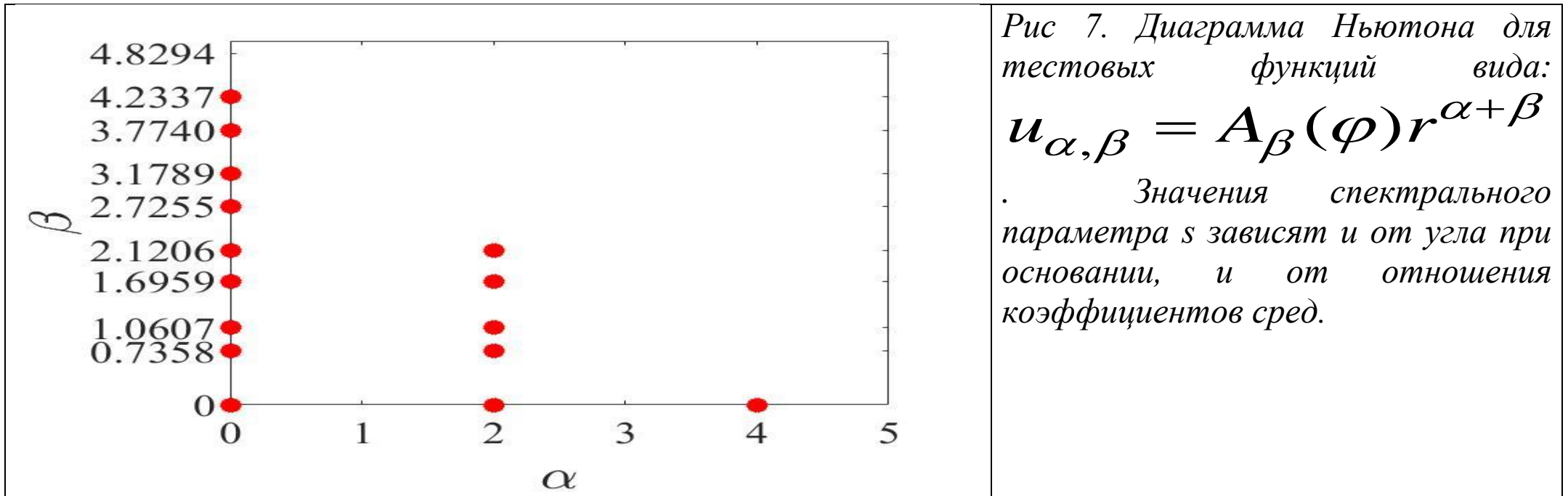


Рис 7. Диаграмма Ньютона для тестовых функций вида:  $u_{\alpha, \beta} = A_{\beta}(\varphi) r^{\alpha + \beta}$ .  
Значения спектрального параметра  $s$  зависят и от угла при основании, и от отношения коэффициентов сред.

### Численные эксперименты

Рассчитывалось решение  $U_{exact}$  для заданной правой части  $F$  на мелкой сетке  $N' = 800$ . Для  $N_i = 400, 200, 100, 50$  вычислялось решение  $U_i$ . Погрешность:  $\|U_{exact} - U_i\|_{L1}$ . Графики погрешности от  $N$  в билогарифмической шкале. Тангенс угла наклона этой прямой определяет порядок схемы.

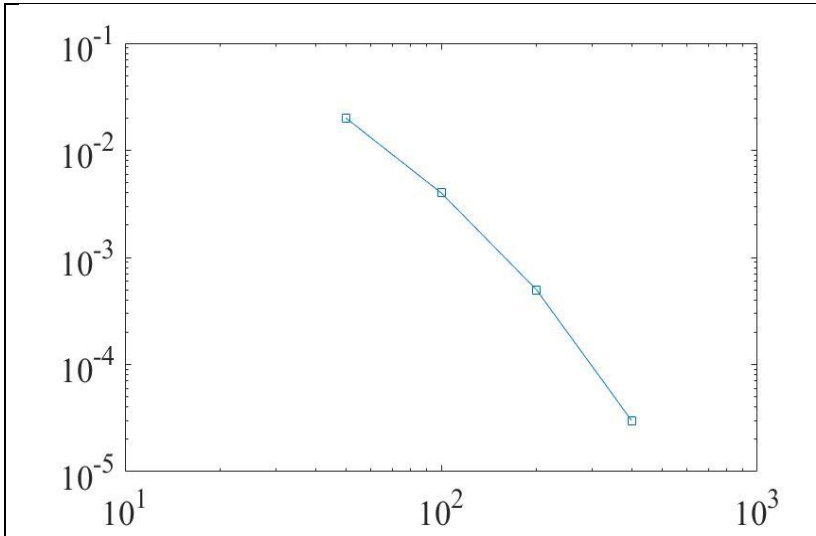


Рис 8. График зависимости погрешности от  $N$ , при  $\frac{g_+}{g_-} = 2$ .

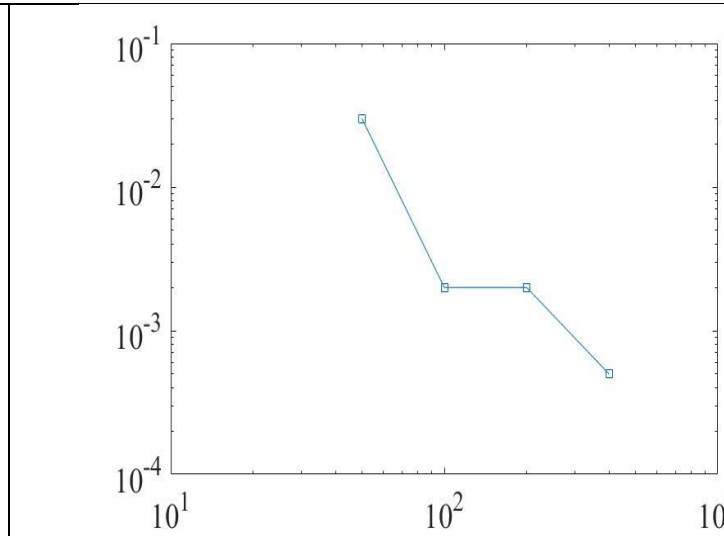


Рис 9. График зависимости погрешности от  $N$ , при  $\frac{g_+}{g_-} = 10$ .

На рис.10 результаты численных экспериментов. На внешней границе стоят граничные условия Дирихле  $u|_{\partial V} = 1$ . Правая часть  $f \equiv 1$  на всем большом треугольнике.

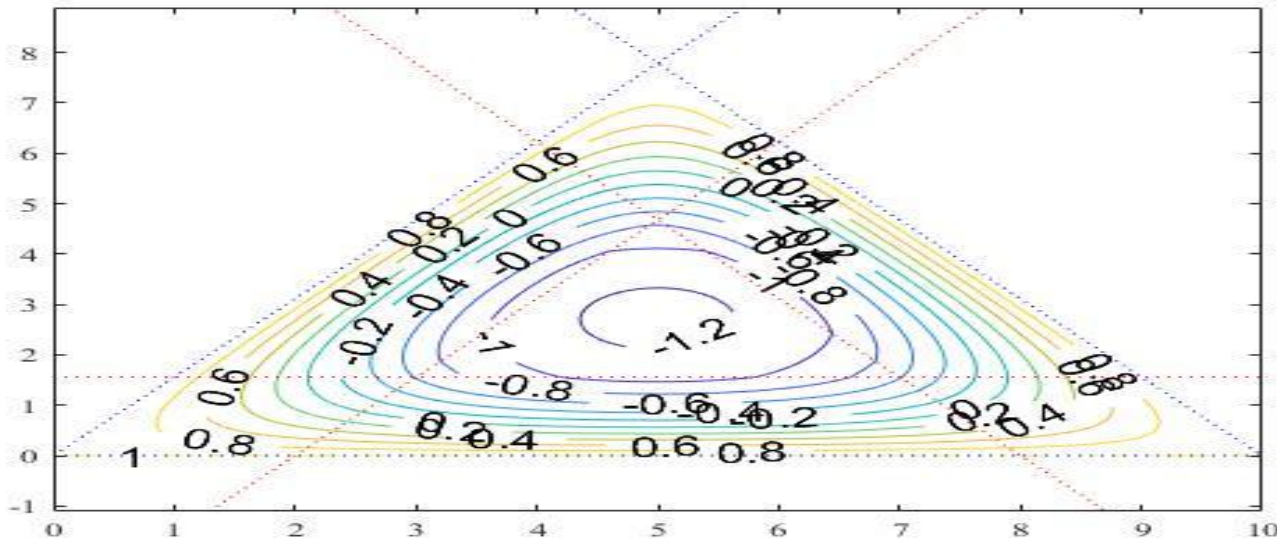


Рис 10. Изолинии референтного решения схемы (при  $N = 800$ ).

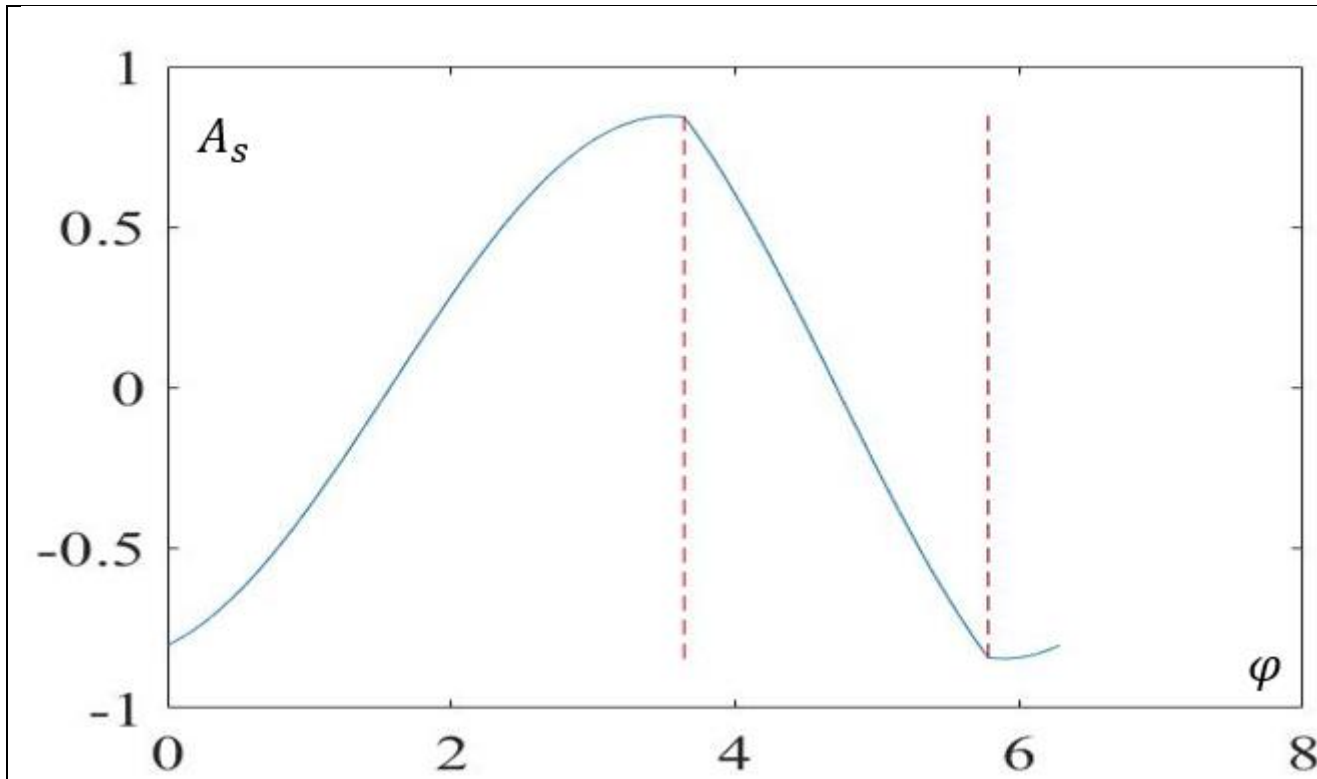


Рис. 11. График зависимости обобщенной собственной функции от угла  $A_{s_1}(\varphi)$  при  $\frac{\vartheta_+}{\vartheta_-} = 10$ ,  $\alpha = 0.5$ .

Красные линии обозначают границы угла. Расстояние от них до экстремумов очень маленькое

Угол между линией экстремума  $A_s(\varphi)$  и линией  $\Gamma$  очень мал.  $\Rightarrow$  Нужно добавить точки около  $\Gamma$ .

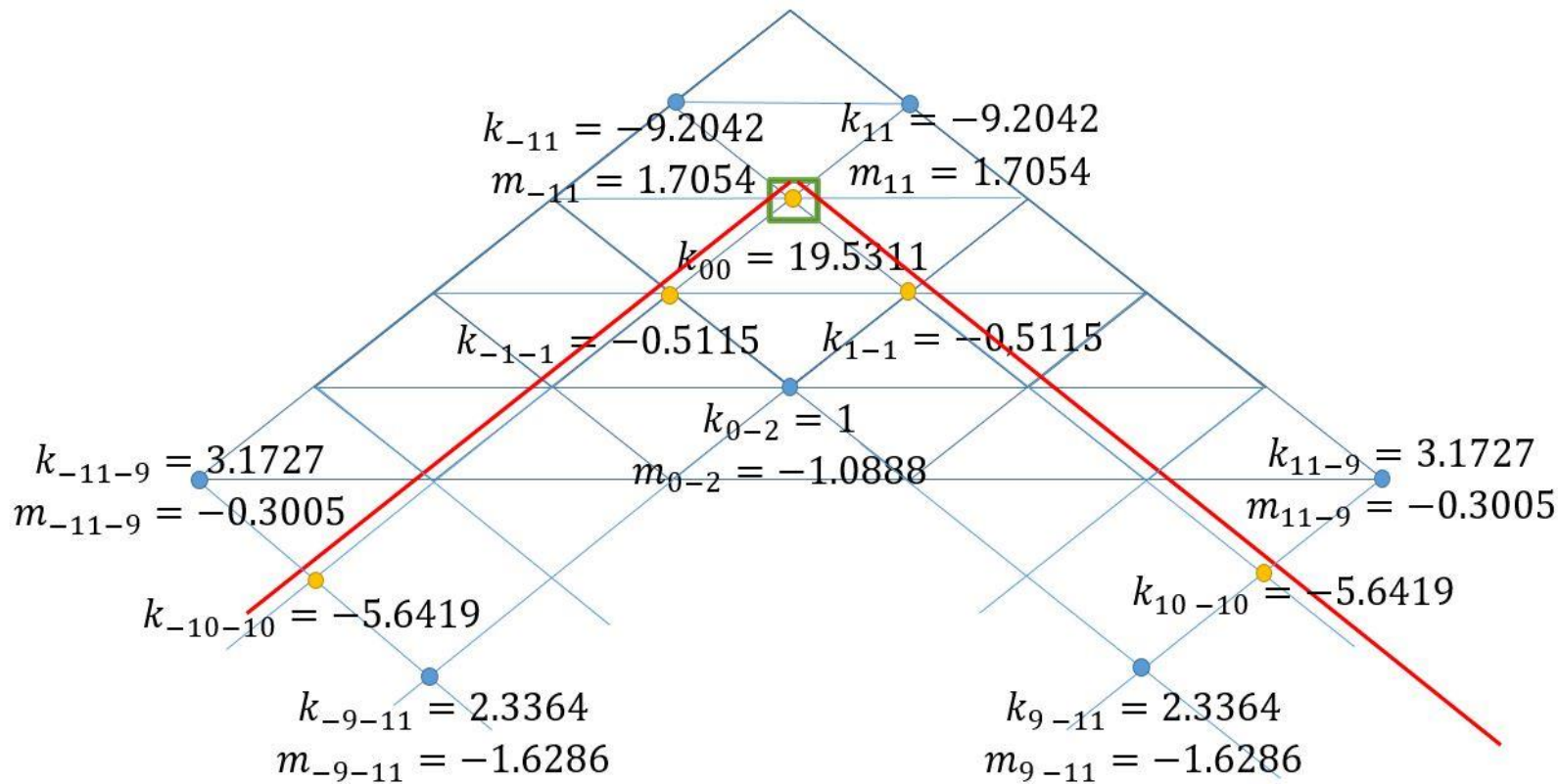


Рис 12. Шаблон для верхнего угла, использующий удаленные точки.

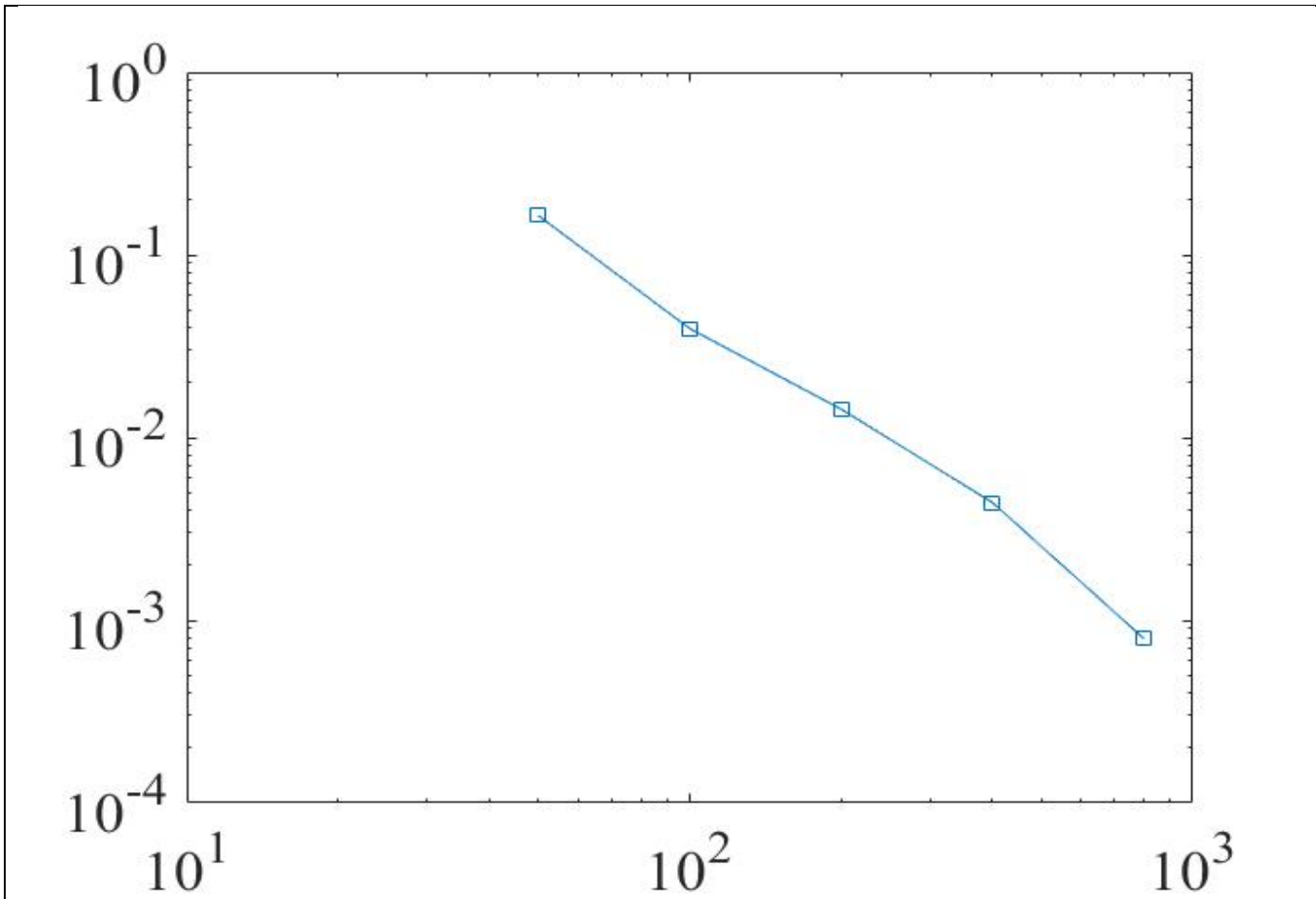


Рис 13. График зависимости погрешности от  $N$ , при  $\frac{g_+}{g_-} = 1,3$ .

Работа была поддержана грантом (18-05-0011) в рамках Программы «Научный фонд Национального исследовательского университета «Высшая школа экономики» (НИУ ВШЭ)» в 2016-2017 гг. с использованием средств субсидии на государственную поддержку ведущих университетов Российской Федерации в целях повышения их конкурентоспособности среди ведущих мировых научно-образовательных центров, выделенной НИУ ВШЭ.